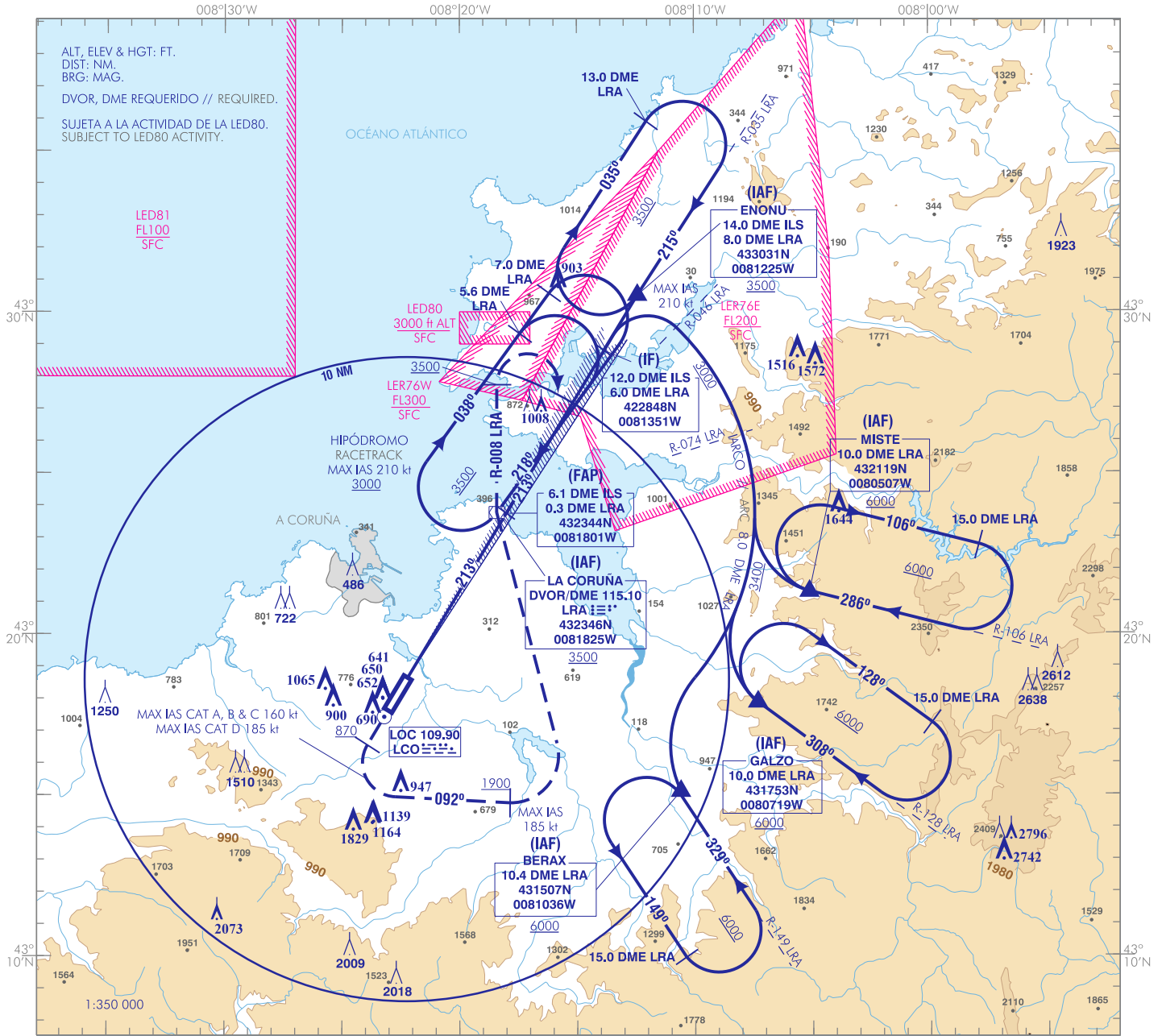


CARTA DE APROXIMACIÓN
POR INSTRUMENTOS-OACI

ELEV AD
330 ft
VAR 2°W (2020)

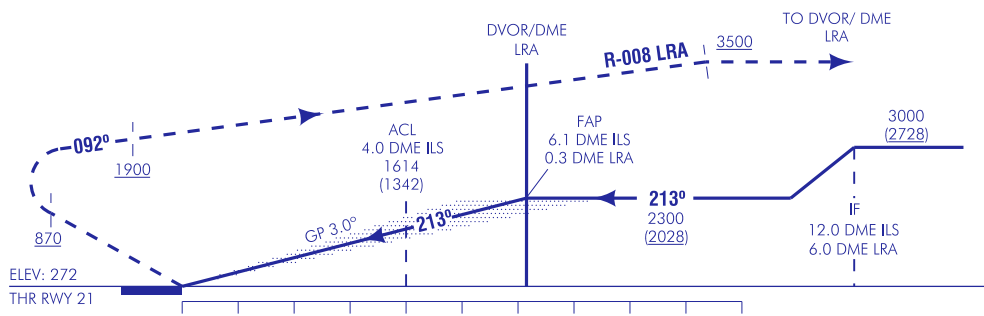
APP 120.200 MHz
TWR 118.305 C
GMC 121.705 C
ATIS 129.005 C

A CORUÑA
ILS Z
RWY 21



FRUSTRADA: ASCENSER EN RUMBO DE PISTA HASTA ALCANZAR 870, VIRAR A LA IZQUIERDA (IAS MAX: CAT A, B & C 160 kt; CAT D 185 kt). NO VIRAR ANTES DE 2.5 DME ILS (ANTES DEL THR), PARA SEGUIR RUMBO 092° HASTA ALCANZAR 1900. VIRAR A LA IZQUIERDA (IAS MAX 185 kt) DIRECTO AL DVOR/DME LRA. PROCEDER EN R-008 LRA HASTA ALCANZAR 3500. VIRAR A LA DERECHA PARA INCORPORARSE A LA ESPERA.

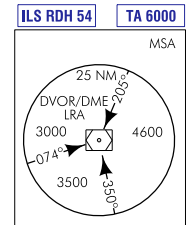
MISSED APCH: CLIMB ON RUNWAY HEADING UNTIL REACH 870. TURN LEFT (MAX IAS: CAT A, B & C 160 kt; CAT D 185 kt). DO NOT TURN BEFORE 2.5 DME ILS (BEFORE THR), TO FOLLOW HEADING 092° TO REACH 1900. TURN LEFT (MAX IAS 185 kt) DIRECT TO DVOR/DME LRA. PROCEED ON R-008 LRA UP TO REACH 3500. TURN RIGHT TO JOIN THE HOLDING.



HGT REF ELEV THR RWY 21					
OCA/H	A	B	C	D	
STA	CAT I 2.5%	692 (420)	704 (432)	712 (440)	750 (478)
	CAT I 4.0%	595 (323)	607 (335)	615 (343)	657 (389)
	CAT I 5.0%	564 (292)	576 (304)	584 (312)	605 (333)
	CAT II 2.5%	(332)	(349)	(361)	(401)
	CAT II 5.0%	(181)	(198)	(210)	(257)
En circuito (H) sobre Circling (H) over	330	1280 (950)	1390 (1060)	2290 (1960)	

GS	kt	80	100	120	140	160	180
FAP-THR: 6.1 NM	min:s	4:34	3:39	3:03	2:37	2:17	2:02
FAP-MAPT:	min:s						
ROD: 5.2 %	ft/min	425	531	637	743	849	955

ALT/HGT DME (ILS) FNA											
13	12	11	10	9	8	7	6	5	4	3	
							2270 (2000)	1950 (1670)	1620 (1350)	1290 (1020)	970 (700)



CAMBIOS: OBSTÁCULOS.
CHANGES: OBSTACLES.

A CORUÑA AD

REQUISITOS DE LA BASE DE DATOS AERONÁUTICA
 AERONAUTICAL DATABASE REQUIREMENTS

PROCEDIMIENTOS DE APROXIMACIÓN POR INSTRUMENTOS // INSTRUMENT APPROACH PROCEDURES

ILS Z RWY 21

PUNTO POINT	LAT	LONG	AZIMUT VERDADERO TRUE BEARING	DISTANCIA DME DME DISTANCE (NM)
BERAX (IAF)	431507.4N	0081036.0W	146.55° (LRA)	10.36 DME LRA
ENONU (IAF)	433031.0N	0081225.3W	030.94° (LOC LCO)	14.00 DME ILS
GALZO (IAF)	431753.4N	0080719.1W	125.93° (LRA)	10.01 DME LRA
DVOR/DME LRA (IAF)	432346.2N	0081824.5W	-	-
MISTE (IAF)	432119.3N	0080506.7W	104.09° (LRA)	10.01 DME LRA
IF	432847.7N	0081350.7W	030.94° (LOC LCO)	11.99 DME ILS
FAP	432344.6N	0081800.8W	030.94° (LOC LCO)	6.10 DME ILS
Aproximación final de precisión - Pendiente (Ángulo de descenso) // Precision final approach - Slope (Descent angle)				5.24% (3.00°)